

下水の土壤処理における硝化過程（第1報）

広島大学工学部 正員 寺西 靖治
 " " 山口 登志子
 鳥取県 新 葵
 長野県 田代 敏

1. はじめに

下水の土壤処理による窒素除去機構において、硝化は脱窒素とともに重要なプロセスの一つである。硝化・脱窒素により下水中のNを除去するためには土壤中のNの挙動を解明する必要がある。本研究は土壤中における硝化過程を明らかにする目的で、土壤カラムを用いて NH_4Cl 溶液の定濃度連続供給実験を行い、カラム内の各窒素成分 ($\text{NH}_4\text{-N}$, $\text{NO}_3\text{-N}$, $\text{NO}_2\text{-N}$) の分布を経日的に調べ考察を加えたものである。

2. 実験方法

本実験に用いた装置は図-1に示すような塩化ビニルパイプ（内径200 mm, 長さ1,050 mm）にマサ土を深さ100 cmに充てんし5~10 cm間隔に土壤中の溶液を採水するための採水装置をつけたものである。この採水装置は外径8 mm, 長さ25 mmの塩ビパイプに内径1.5 mmの穴を多数あけ、厚さ1 mmのポリエチレンシートを巻いてカラムに通し、内側にテフロン棒を差し込んで両側をシリコン栓で固定したものである。充てんした土は5 mmのフルイを通してマサ土に2.5 mmのフルイを通した烟土を2 wt% 添加し、充分混合したものと用いた。烟土はマサ土に硝化菌を植種し、増殖速度を促進するために加えた。充てんした土の組成を表-1に示す。マサ土の比重は2.65, 含水比は7.2 wt%, 60%粒径1.45 mm, 30%粒径0.17 mmである。土壤カラムは3本作成（C-1, C-2, C-3）、バイブレータで振動を与えるながら土を充てんした。充てん量はそれぞれ、55.43, 54.79, 53.92 gである。 NH_4Cl 溶液の供給はマリオット式定水量供給装置を用い、バブルケーブルと散布装置の注射針先端とのヘッド差と電磁弁の開閉间隔により調節した。供給液の組成は表-2に示す通りである。 NaHCO_3 は硝化菌の無機炭素源と溶液の中和の目的を兼ねて理論値の2倍量加え、Pは $P/N = 0.1$ となるよう添加した。実験は供給液の濃度を変えて3段階行い、各々のRunで定常に達した後、次のRunに移った。実験条件を表-3に示す。3本の土壤カラムへの NH_4Cl 溶液の供給量は各Runで表-4に示すように設定した。装置は温度30°C、湿度75%の恒温恒湿室に設置し、2~4日毎に採水装置から真空ポンプで土

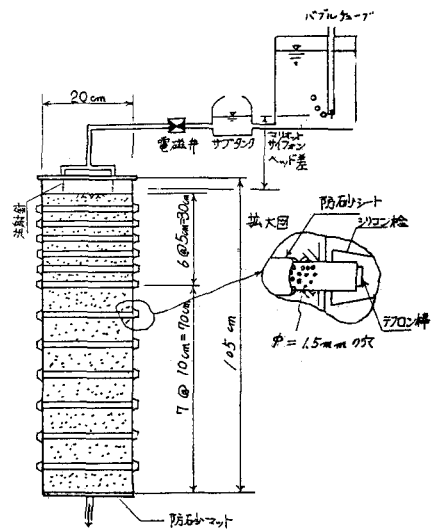


図-1 実験装置

表-1 土の組成

項目	測定値
塩基置換容量 (me/100g)	4.2
TN (mg/kg)	70
TP (mg/kg)	480
TC (wt%)	0.1

表-2 供給溶液の組成

Run	成分 (mg/l)		
	NH_4Cl (as NH_4N)	NaHCO_3	KH_2PO_4
1	20.0	67.9	2.0
2	60.0	203.7	6.0
3	120.0	407.3	12.0

表-4 平均流量および流速

Run	流量 (ml/hr)*		
	C-1	C-2	C-3
1	280 ± 10 (3.9 ± 0.2)	410 ± 20 (5.2 ± 0.3)	510 ± 20 (6.2 ± 0.3)
2	190 ± 20 (2.6 ± 0.2)	410 ± 10 (5.2 ± 0.1)	490 ± 50 (6.0 ± 0.6)
3	300 ± 10 (4.1 ± 0.1)	400 ± 10 (5.1 ± 0.1)	540 ± 20 (6.7 ± 0.2)

* 平均値±標準偏差を示す。

** () 内は実流速 (cm/hr)。

表-3 実験条件

Run	供給液濃度 (NH_4N %)	実験期間 (日)
1	20	33
2	60	22
3	120	44

罐内の溶液を吸引して排水した。試料液は 3500 rpm で 5 分間遠心分離し、後、 NH_4-N , NO_3-N , NO_2-N を分析した。流出水に NO_3-N さらに TN , pH , EC を分析した。分析法は NO_3-N : イオニ電極法, NH_4-N , NO_2-N : 下水試験法, TN : 住化 $TC-TN$ 計である。

3. 結果と考察

1) pH, EC: 流出水の pH の経時変化を図-2 に示す。供給溶液の pH は Run 1~3 で 8.2 ~ 8.6 である。図-2 より流出水の pH は初期に変動が大きいが、その後は pH 8 付近でほぼ一定となる。Run 1 では他のカラムでも同様の傾向を示す。Run 2 では 7 ~ 8.5, Run 3 では 7.5 ~ 8.3 程度である。流出水の EC は定常期で 0.8 ~ 4.5 mS/cm であった。

2) 各 N 成分のカラム内分布と経時変化: Run 1,

C-1 における各 N 成分のカラム内分布の経時変化を図-3 に示す。カラム内で徐々に硝化が進み、28~32 日で硝化が完了して定常に達している。図では NH_4-N 供給濃度を C_0 とし、実測した各 N 成分濃度を C として相対濃度 (C/C_0) を示す。Run 1, 2 では他のカラムにおいても図-3 と同様の傾向であり、土壤表面より 5 ~ 10 cm で硝化はほぼ完了した。図-4 にカラム内の各深さにおける N 成分の経時変化の一例を示す。L = 10 cm では初期に高濃度の NO_2-N が検出されており、その後減少しており、L = 70 cm では初期でもほとんど検出されない。これは硝化が浅い部分で進むことと、亜硝酸菌に対し硝酸菌の増殖に遅れがあることなどが原因と考えられる。 NO_2-N は全般的に微量である。Run 1 ではほとんど検出されず、Run 2, 3 でも 0.06 ~ 0.1 (C/C_0) 程度であった。Run 3 では NH_4-N 供給量が大きくなる Run 1, 2 とは傾向が異なり、硝化はいずれのカラムでも完了しなかった。図-5 にカラム内分布の例を示す。C-1 では NH_4-N は指數関数的に減少していくが、 NO_3-N 濃度 10 ~ 20 cm 以下ではほとんど変化していない。他のカラムでも同様の傾向であった。これは酸素供給量が制限因子になっているためではないかと考えられる。また C/C_0 の合計が 1.0 ならないのは NH_4-N の吸着によるものと考えられる。

N 供給量の最も多く C-3 では C/C_0 で 0.4 ~ 0.5 の NH_4-N が流れしており、他のカラムでもいずれ流出してくれるものと思われる。表-5 に各カラムへの NH_4-N 供給量と定常期における NO_3-N 生成量を示す。Run 1, 2 では供給した NH_4-N はすべて NO_3-N に酸化されており、硝化率は 100% である。Run 3 では N 供給量の多少にかかわらず、硝化量は 2 ~ 26 (mg/hr) でほぼ一定である。本条件下では 20 ~ 30 mg/hr が硝化量の限界値と考えられる。

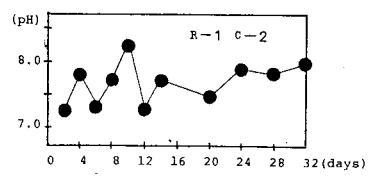


図-2 pHの経時変化

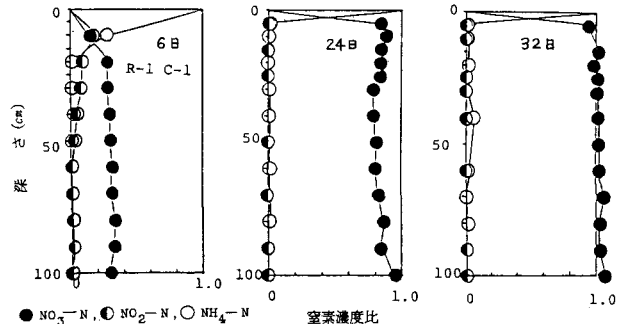


図-3 カラム内分布の経時変化

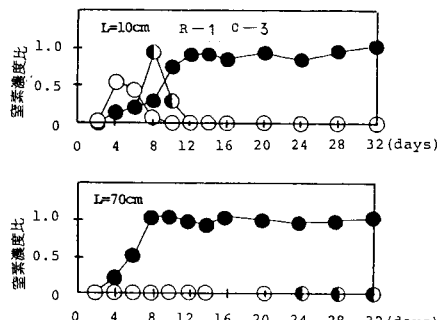


図-4 各深さにおけるN成分の経時変化

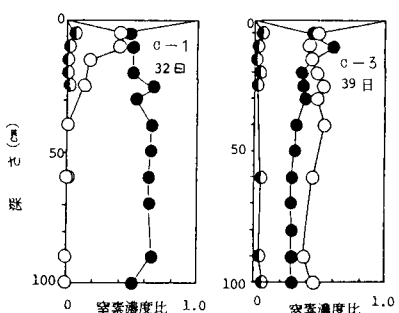


図-5 Run 3におけるカラム内分布

表-5 NH_4-N 供給量と NO_3-N 生成量

Run	NH_4-N 供給量 (mg/hr)			NO_3-N 生成量 (mg/hr)		
	C-1	C-2	C-3	C-1	C-2	C-3
1	5.6	8.2	10	5.6 (100)	8.2 (100)	10 (100)
2	11	25	29	11 (100)	25 (100)	29 (100)
3	36	48	65	21 (59)	26 (54)	21 (33)

* () 内は硝化率 (%) を示す。